

C-55

group

Cu<sub>3</sub>Sb

BGZ-2296-V

1910

Cu<sub>2</sub>Sb

Schimpff H.

(Gp)

"Z. phys. Chem."

1910, 71, 257-300

a



82248 1913

Carpenter

1.Z.Metallkunde 4, 300 (1913)

Cu<sub>3</sub>Sb

Tm.

Circ.500



Cu<sub>3</sub>Sb

Bsp - 2250-V

1914.

Schübel P.

(Tm)

"Z. anorg. Chem."  
1914, 87, 81-108

Cu<sub>3</sub>Sb

B92-2247-V 1923

Biltz W  
Haase C.

( $\Delta$ Hf)

"Z. Anorg. Chem."

1923, 129, 141-60.



Cu<sub>2</sub>Sb

B92-2251-V 1929.

~~Cu<sub>3</sub>Sb~~

Stephens E.  
Evans E. J.

cb - Lk

"Phyl May"  
1929, 7 161-76.

V 1864

1935-34

Murakami and Shibata

1. Science Repts. Tohoku Imp. Univ. 1, 25,  
187 (1935-7)

Cu; Cu<sub>5</sub>Sb<sub>2</sub>

Tm

Circ. 500

Be.

F.

V 505

1957

Cu-Sb ( $\Delta H_{mix}$ ,  $\Delta S_{mix}$ , эдс)

Berep A.A., Николаевская A.B., Терасимов I.U.

Ж. физ. химии, 1957, 31, № 6, 1395-1400.

Исследование термодинамических свойств  
двойных металлических систем методом  
эдс. IV Система медо-сурым

Ржев, 1958, № 16, № 899

B

V 9697

1957

6876

Pb<sub>3</sub>Sb<sub>2</sub>S<sub>6</sub>, PbSb<sub>2</sub>S<sub>4</sub>, Cu<sub>3</sub>SbS<sub>3</sub>, CuSbS<sub>2</sub>,

Ag<sub>3</sub>SbS<sub>3</sub>, AgSbS<sub>2</sub>, Ag<sub>3</sub>Sb (Ff)

Verdach A.G., Wagner Carl

J. Phys. Chem. 1957, 61, N 5,  
558-562

Contributions to the ...

Be, M

V 2249

1958

Cu<sub>3</sub>Sb (T<sub>tr</sub>)

Günzel Eberhard, Shubert Konrad

Z. Metallkunde, 1958, 49, N 3, 124-33

Strukturuntersuchungen im System Kupfer-An-timon.

PJX, 1958, N 22, 73225

Бе.

Есть  Н.

Est.f.k.

Cu<sub>2</sub>Sb

Bsp-2252-V 1958.

Berep A. A.

Tepasenov S. N.

17; 14

15; abc

"M. fuz. xercccccc"

1958, 32 n12,  
835-40.

V 2252

1958

Cu<sub>2</sub>Sb (ΔZ, ΔH, ΔS, vdc)

Вечер А.Л., Герасимов Я.И.

Журнал химии, 1958, №2, № 12, 2936-40

Исследование термодинамических свойств двойных  
металлических систем методом электродвигущих  
сил II. Система медь-сульфур в твердом состоянии

PJX, 1958, 4Б063

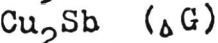
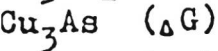
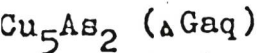
М.

ЕСТЬ Ф. К.

Est.f.k.

V 2244

1959



Hartmann H., Ensslin F., Wunderlich E.  
Z. Erzbergbau und Metallhuttenwesen, 1959, 12,  
N 8, 374-81, N 9, 437-43

Untersuchungen über die Entkupferung des  
Bleies in Gegenwart von zinn, Arsen und Antimoni  
on teil I.

PJX, 1960, 37938

M., W.

E.C.T.B. Est. f. K.

1963

CuSbS<sub>2</sub>  
T<sub>m</sub>

✓ Some properties of single-crystalline copper antimony sulfide.  
 G. B. Abdullaev, R. Kh. Nani, and Ya. N. Nasirov. *Izv. Akad. Nauk Azerb. SSR, Ser. Fiz.-Mat. i Tekhn. Nauk* 1963(6), 83-6.  
 A polycryst. p-type CuSbS<sub>2</sub> ingot of uniform resistivity was prep'd. from the high-purity elements. The elec. cond. and Seebeck coeff. were  $0.08 \text{ ohm}^{-1}\text{-cm.}^{-1}$  and  $950 \mu\text{v./}^\circ\text{K.}$  at room temp., but 7 and 120, resp., at  $700^\circ\text{K.}$  The carrier activation energy was 0.24 e.v. Small single crystals were obtained from the ingot by repeated zone melting under 2 atm. Ar. At room temp. their elec. cond. was  $0.024 \text{ ohm}^{-1}\text{-cm.}^{-1}$ , Seebeck coeff.  $1200 \mu\text{v./}^\circ\text{K.}$ , thermal cond.  $0.005 \text{ cal./cm.-sec.-}^\circ\text{K.}$ , mobility  $0.624 \text{ cm.}^2/\text{v.-sec.}$ , carrier concn.  $10^{17}/\text{cc.}$ , hardness 267.8 kg./mm.<sup>2</sup>, and m.p.  $535^\circ\text{C.}$  The carrier activation energy was 0.8 e.v. The elec. cond. and Seebeck coeff. both decrease with increasing temp., while the thermal cond. has a min. near room temp.

I. L. Kalnin

C.A. 1964 C 12 1348 d.

~~50615.1026~~

~~ХРК~~

Cu<sub>3</sub> SbSe<sub>4</sub>, Cu<sub>3</sub> AsSe<sub>4</sub>  
(Tm, Cr)

<sup>1965</sup>  
3336-v.

Получение и исследование некоторых свойств  
полупроводниковых соединений Cu<sub>3</sub>AsSe<sub>4</sub>  
и Cu<sub>3</sub>SbSe<sub>4</sub>. Бергер Л.И.,

Аннамамедов Р.

"Изв. АН СССР. Неорган. материалы",  
1965, I, № 4, 511-513

Реж, 1965, 22Б351

6

от оригинал

ВИНИТИ 820

V 2253

1966

CuSbS<sub>2</sub> (Tm)

Абдулаев Г.Б., Нани Р.Х., Насиров Я.

Изв. АН Азерб. ССР, Сер. Физ.-Мат. и техн. наук,  
1966/6/, 83-6

Некоторые свойства кристаллического сульфида  
меди и сурьмы.

ЕСТЬ И.

Ве.

Est.f.k.

СА, 1964, 61, N 2, 1343d

$Mg_2 Pb$  (OHf), SG, Pb, Cu, Ag (ohne)  $\text{O}^\circ\text{f}$ , 1962

Rosina A., Smajic N., Dobovišek B. VI 5251

Microchim. acta, 1962, N4, 626-638 (recd.)

Beitrag zur Anwendung der differenz-thermischen  
Analyse in der Kalorimetrie

12

PHR Koen, 1968

206720

M (P)

Cu Sb S<sub>2</sub>  
Cu Sb Se<sub>2</sub>  
Cu Sb Te<sub>2</sub>

VI - 57444

1968

(72088g) Change in the nature of chemical bonding during the melting of A<sup>I</sup>B<sup>V</sup>C<sub>2</sub><sup>VI</sup> compounds. Abdullaev, G. B.; Mal'sagov, A. U.; Glazov, V. M. (Mosk. Inst. Stali Splavov, Moscow, USSR). *Izv. Akad. Nauk SSSR, Neorg. Mater.* 1968, 4(8), 1233-5 (Russ). Elec. cond. and thermal emf. of A<sup>I</sup>B<sup>V</sup>C<sub>2</sub><sup>VI</sup> compds. in a wide temp. range in the solid and liq. states were studied. Here, A<sup>I</sup> = Cu, Ag; B<sup>V</sup> = Sb; and C<sub>2</sub><sup>VI</sup> = S, Se, Te. The m.ps. of these compds. range from 480° for CuSbSe<sub>2</sub> to 636° for AgSbSe<sub>2</sub>, with the former having a rhombohedral, and the latter a NaCl-type structure. The elec. cond. of the compds. studied increases with increasing temp. all the way to the m.p. At the m.p. of all but AgSbSe<sub>2</sub>, there is a slight jump upward in elec. cond., and with increasing temp. of all compds. in the liq. state, their elec. cond. also increases. These compds. exhibit p-

T<sub>m</sub>

+1

C.A. 1968, 69, 18

17

type cond. in the solid and liq. states, with the exception of Ag-SbSe<sub>2</sub>, in which case the *p*-cond. changes to *n*-cond. in its liq. state. The changes in elec. cond. and thermal emf. in the solid phases are typical for semiconductors which have a relatively low content of impurities. The width of the forbidden band is 0.83 ev. for CuSbS<sub>2</sub>, and CuSbSe<sub>2</sub>, 1.20 for AgSbS<sub>2</sub>, and 0.62 ev. for AgSbSe<sub>2</sub>. The melts of the compds. investigated have predominantly covalent chem. bonding and they are liq. semiconductors.

S. A. Mersol

1968

Cu<sub>2</sub>SbS<sub>3</sub>

(113445z) New data on the copper sulfide-antimony sulfide-sulfur system. Godovikov, A. A.; Il'yasheva, N. A. (USSR). *Eksp. Issled. Mineral.* 1968 (Pub. 1969), 58-60 (Russ). From Ref. Zh., Geol., V. 1970, Abstr. No. 5V555. The isothermal section of the Cu<sub>2</sub>S-Sb<sub>2</sub>S<sub>3</sub>-S system phase diagram at 480° was

goas.  
geolcp.

studied by the powder-sintering method. The system contained stibnite, chalcocite, digenite, covellite, famatinite, tetrahedrite, chalcostibite, and new anisotropic phase Cu<sub>2</sub>SbS<sub>3</sub>. MLSV

C.A. 1970. V3. 22

Cu Sb S<sub>2</sub>

Cu Sb S<sub>2</sub>

Cu As S<sub>2</sub>

BQ - 4645 - VI

Краснобекский А.Н.  
и др.

1968

Asb. Ахсан, Николай. майор,

4, N1, 144

(Cu. Ag Sb S<sub>2</sub>) I

12 Б1304. Исследование фазовых равновесий между халькогенидами меди и сурьмы. Кулнин Р. А., Крестовников А. Н., Глазов В. М. «Изв. АН СССР. Неорг. материалы», 1969, 5, № 12, 2217—2218

1969

Методами микроструктурного анализа и ДТА исследованы разрезы  $\text{Cu}_2\text{S}-\text{Sb}_2\text{S}_3$ ,  $\text{Cu}_2\text{Se}-\text{Sb}_2\text{Se}_3$  и  $\text{Cu}_2\text{Te}-\text{Sb}_2\text{Te}_3$  тройных систем  $\text{Cu}-\text{Sb}-\text{X}$  ( $\text{X}=\text{S}, \text{Se}, \text{Te}$ ). Образцы изготовлены из исходных двойных соединений нагревом их смесей в откаченных до  $10^{-4}$  ми квадцевых трубках. Подтверждено образование соединений  $\text{CuSbS}_2$  и  $\text{CuSbSe}_2$  в системах  $\text{Cu}_2\text{S}-\text{Sb}_2\text{S}_3$  и  $\text{Cu}_2\text{Se}-\text{Sb}_2\text{Se}_3$ , плавящихся конгруэнтио при  $552$  и  $490^\circ$  и, образующих соотв. эвтектики с  $\text{Cu}_2\text{S}$  при  $472^\circ$ ,  $55\%$   $\text{Cu}_2\text{S}$  (всюду мол. %), с  $\text{Cu}_2\text{Se}$  при  $430^\circ$ ,  $60\%$   $\text{Cu}_2\text{Se}$ , и эвтектика со  $\text{Sb}_2\text{S}_3$  при  $495^\circ$ ,  $30\%$   $\text{Cu}_2\text{S}$ , и со  $\text{Sb}_2\text{Se}_3$  при  $480^\circ$ ,  $45\%$   $\text{Cu}_2\text{Se}$ . В системе  $\text{Cu}_2\text{Te}-\text{Sb}_2\text{Te}_3$  соединений не образуется: эвтектика  $\text{Cu}_2\text{Te}+\text{Sb}_2\text{Te}_3$  расположена при  $480^\circ$  и  $38\%$   $\text{Sb}_2\text{Te}_3$ . Все разрезы являются квазибинарными и характеризуются ограниченной взаимной р-римостью исходных компонентов.

Л. В. Шведов

CuSbS<sub>2</sub>

CuSbSe<sub>2</sub>

T<sub>m</sub>

X. 1970

19

VI-4180

1969

CuSbS<sub>2</sub>

83429g Phase equilibria between copper and antimony chalcogenides. Kuliev, R. A.; Krestovnikov, A. N.; Glazov, V. M. (Mosk. Inst. Stali-Splavov, Moscow, USSR): *Izv. Akad. Nauk SSSR, Neorg. Mater.* 1969, 5(12), 2217-18 (Russ). The nature of the phase equil. and the phase diagrams of the Cu<sub>2</sub>X-Sb<sub>2</sub>X<sub>3</sub> sections of the ternary Cu-Sb-X systems were investigated, since it is exactly on these sections that the figurative points are located corresponding to the compn. of the CuSbX<sub>2</sub> compds. DTA and microstructural anal. methods were used for this study. Phase equils. in the Cu<sub>2</sub>S-Sb<sub>2</sub>S<sub>3</sub> and Cu<sub>2</sub>Se-Sb<sub>2</sub>Se<sub>3</sub> systems are described by the phase diagrams with single congruently melting chem. compd. CuSbX<sub>2</sub>, which divides each of the diagrams into two simple ones of the eutectic type, with a limited solv. in the solid state. The quant. data characterizing the eutectic transformations in these two systems are presented. The m.ps. of CuSbS<sub>2</sub> and CuSbSe<sub>2</sub> are 552 and 490°, which is not in bad agreement with the literature data. Two thermal effects are observed on each system: a high-temp. one and one corresponding to the

CuSbSe<sub>2</sub>

1m

C.A. 1970.

F2.16

isothermal transformation. The Cu<sub>2</sub>S-Sb<sub>2</sub>S<sub>3</sub> and Cu<sub>2</sub>Se-Sb<sub>2</sub>Se<sub>3</sub> sections in the resp. ternary systems are quasibinary. One must keep this in mind during a more detailed study of the Cu-Sb-X systems. Results further show that the phase equil. in the Cu<sub>2</sub>-Te-Sb<sub>2</sub>Te<sub>3</sub> system can be described by a simple diagram of the eutectic type with limited solv. in the solid state. This means that the chem. compd. CuSbTe<sub>2</sub> as such does not exist. Alloy of the CuSbTe<sub>2</sub> compn. has a two-phase structure, characterized by the presence of primary crystals of the solid soln.

S. A. Morsol

CuSbS<sub>2</sub>

Cu<sub>2</sub>SbSe<sub>2</sub>

Cu<sub>2</sub>SbTe<sub>2</sub>

rubber

unpublished

1969

93752w Phase equilibrium and analysis of the nature of intermolecular interaction in systems formed by copper and antimony chalcogenides. Kuliey, R. A.; Krestovnikov, A. N.; Glazov, V. M. (Mosk. Inst. Stali Splavov, Moscow, USSR). *Zh. Fiz. Khim.* 1969, 43(12), 3063-6 (Russ). The formation of ternary compds. of the type CuSbX<sub>2</sub>, where X is S, Se or Te, was investigated by DTA and microstructural anal. The melting diagrams were detd. The system Cu<sub>2</sub>Te and Sb<sub>2</sub>Te<sub>3</sub> does not form ternary compds. This equil. has an eutectic point, contg. 38 mole % of Sb<sub>2</sub>Te<sub>3</sub>. Systems formed by selenides and sulfides - form CuSbSe<sub>2</sub> and CuSbS<sub>2</sub>. In all investigated systems, the calcd. mixing energies for the liq. phase were neg. A. Simkovicova

C. A. 1970.

72.18

Cu Sb Se<sub>2</sub>  
Cu Sb S<sub>2</sub>

1870

-7-Б897. Термографическая оценка теплот образования и энтропий CuSbSe<sub>2</sub> и CuSbS<sub>2</sub>. Глазов В. М., Кудиев Р. А., Крестовников А. Н. «Изв. АН СССР. Неорг. материалы», 1970, 6, № 12, 2194—2195

Методом ДТА впервые получены значения теплот  $\Delta H$  и энтропий  $\Delta S$  плавления соединений CuSbS<sub>2</sub> и CuSbSe<sub>2</sub>, равные соотв. 19 400 и 25 000 кал/моль; 23,0 и 33,66 э. е.

Из автореферата

$\Delta H_f$

$\Delta H_m$

X. 1971. 4

CuSbS<sub>2</sub>

CuSbSe<sub>2</sub>

1970

46324q Thermographic evaluation of the heats of formation and entropies of CuSbSe<sub>2</sub> and CuSbS<sub>2</sub>. Glazov, V. M.; Kuliev, R. A.; Krestovnikov, A. N. (Mosk. Inst. Elektron. Tekh., Moscow, USSR). *Izv. Akad. Nauk SSSR, Neorg. Mater.* 1970, 6(12), 2194-5 (Russ). The thermographic method was used to det. the most important thermochem. properties of the title compds. The starting double compds. were synthesized by fusing S, Se, Sb, and Cu of semiconductor purity. The m.p., the heat of fusion, and the entropy for CuSbS<sub>2</sub> were 819°K, 19,400 cal/mole, and 23.0 cal/mole degree, resp.; the corresponding values for CuSbSe<sub>2</sub> were 760°K, 25,500 cal/mole, and 33.6 cal/mole degree, resp.

S. A. Mersol

C.D. 1971. 44.10

CuSbS<sub>2</sub>

1980

(T<sub>m</sub>)

93921d Phase diagram of the cuprous sulfide-antimony sulfide system. Il'yasheva, N. A. (USSR). *Eksp. Issled. Mineral.* 1969-1970 (Pub. 1971), 24-34 (Russ). Edited by Godovikov, A. A. Akad. Nauk SSSR, Sib. Otd.: Novosibirsk, USSR. The Cu<sub>2</sub>S-Sb<sub>2</sub>S<sub>3</sub> system was studied over the entire compn. range by DTA, mineralographic, and x-ray methods at 400-1150°. A new phase diagram of the title system is presented. The course of crystn. of samples is given in detail. At 0.5-25 mole % Sb<sub>2</sub>S<sub>3</sub>, 3 isotropic phases with structure close to that of tetrahedrite were detected. The 3 phases are metastable in the section investigated. Two compds. were obsd.: Sb wittichenite Cu<sub>3</sub>SbS<sub>3</sub> and chalcostibite CuSbS<sub>2</sub>. Cu<sub>3</sub>SbS<sub>3</sub> is formed under equil. conditions by the ternary 3-phase reaction of the peritectic type. CuSbS<sub>2</sub> congruently m. 555°. Eutectics of total compn. 45 and 79 mole % Sb<sub>2</sub>S<sub>3</sub> m. 542 ± 3° and 492 ± 3°, resp. Karel V. Aim

C. H.

1980. 11. 14

Cu<sub>3</sub>SbS<sub>3</sub>

1970

T<sub>m</sub>

80345y New synthetic copper and silver sulfosalts. Godovikov, A. A.; Ilyasheva, N. A.; Nenasheva, S. N. (Inst. Geofiz., Novosibirsk, USSR). *Int. Mineral. Ass., Pap. Proc. Gen. Meet.*, 7th 1970 (Pub. 1971), No. 2, 32-4 (Eng). Cu<sub>3</sub>SbS<sub>3</sub> was prep'd. by heating Cu<sub>2</sub>S and Sb<sub>2</sub>S<sub>3</sub> at 480-530° for 1 month. Optical and x-ray powder data indicate that the compd. has orthorhombic symmetry with  $a$  6.55,  $b$  7.79,  $c$  10.19 (all  $\pm 0.02$ ) Å,  $Z = 4$ , d.(obsd.) 5.06  $\pm$  0.03, d.(calcd.) 5.20. It is the Sb analog of wittichenite. The m.p. (from DTA) is 593-618°. Ag<sub>2</sub>PbSb<sub>3</sub>S<sub>7</sub> (d. 5.94) was synthesized by prolonged annealing of homogeneous cubic solid solns. of AgSbS<sub>2</sub> and PbS at 290° and its x-ray powder data are given. Michael Fleischer

C.A. 1972 • 46 • 14

1971

Сисейса

CuO - Sb<sub>2</sub>O<sub>3</sub>

TiO<sub>2</sub> - CuO

6 Б842. Взаимодействие компонентов в системах CuO—Sb<sub>2</sub>O<sub>3</sub> и CuO—TiO<sub>2</sub>. Шейнкман А. И., Мухин В. Г., Гольдштейн Л. М., Клещев Г. В. В сб. «Технол. и свойства минеральн. пигментов». Л., «Химия», 1971, 14—18

Методами ДТА, ТГА, спектров диффузного отражения и рентгенографии изучены системы CuO—Sb<sub>2</sub>O<sub>3</sub> и CuO—TiO<sub>2</sub>. Исходные образцы готовили прокаливанием смесей Cu<sub>2</sub>(OH)<sub>2</sub>CO<sub>3</sub>, TiO<sub>2</sub>·2H<sub>2</sub>O и Sb<sub>2</sub>O<sub>3</sub>. Установлено, что в системе CuO—Sb<sub>2</sub>O<sub>3</sub> при 370—580° происходит окисление Sb<sub>2</sub>O<sub>3</sub> до Sb<sub>2</sub>O<sub>4</sub>, а при 700° начинается образование CuSb<sub>2</sub>O<sub>6</sub> (I), причем р-ция образования I заканчивается при 1000°. В системе CuO—TiO<sub>2</sub> отмечены эффекты, связанные с удалением H<sub>2</sub>O (160°).

+1

РЖХ, 1972, № 6

разложением  $\text{Cu}_2(\text{OH})_2\text{CO}_3$  ( $300^\circ$ ) удалением  $\text{SO}_3$ , содержащегося в  $\text{TiO}_2 \cdot 2\text{H}_2\text{O}$  ( $450^\circ$ ), и разложением  $\text{CuSO}_4$  ( $750^\circ$ ). Наличие эффекта при  $960-1010^\circ$  на кривых охлаждения и нагревания указывает на существование жидк. фазы в системе  $\text{CuO}-\text{TiO}_2$ . Рентгенографич. исследование застывшего расплава указывает на существование новой фазы предположительного состава  $\text{Cu}_2\text{Ti}_2\text{O}_5$ . Установлено, что в присутствии  $\text{CuO}$  переход анатаз  $\rightarrow$  рутил происходит при  $700^\circ$ , т. е. понижается более, чем на  $100^\circ$ , что может служить косвенным подтверждением начала р-ции  $\text{CuO}$  с  $\text{TiO}_2$ .

И. С. Шаплыгин

# Cu-Sb (сплав)

1972

2 E612. Длиннопериодная сверхструктура с гексагональной симметрией в сплавах Cu—Sb, содержащих около 20 ат.% Sb. Yamaguchi Sadae, Hirabayashi Makoto. Long period superstructures with hexagonal symmetry in the Cu—Sb alloys near 20 at.% Sb. «J. Phys. Soc. Jap.», 1972, 33, № 3, 708--717 (англ.)

(Ямагучи)

Проведено рентгенографическое, эл.-микроскопич. и электронное дифракционное исследование сплавов Cu—Sb, содержащих 16—21 ат.% Sb. Упорядочение сплавов проводилось путем отжига при 350°C в течение 8 дней. При содержании Sb 16—19 ат.% в сплаве обнаружена новая длиннопериодная сверхструктура, относящаяся к пространственной группе  $P\bar{b}_3/tmm$ .

(Физика-73-2)

(Си. Каюбаги)

Подобная структура ( $\epsilon'$ -фаза) существует и в сплавах, содержащих около 21 ат.% Sb. Обе эти фазы являются антифазной модуляцией упорядоченной структуры типа  $Nb_3Sb$ ( $DO_{19}$ ). Антифазные границы формируются в трех симметричных направлениях, перпендикулярных к плотноупакованным плоскостям. Длинный период  $\epsilon$ -фазы равен примерно 7 периодам гексаг. подъячейки; он уменьшается с увеличением отношения  $e/a$  в сплаве. Сверхструктуру с длинным периодом удалось непосредственно наблюдать в 1000-кв. электронном микроскопе. Обсуждается возможный механизм стабилизации  $\epsilon$ -и  $\epsilon'$ -фаз.

Г. Н.

$\text{Ge}_2\text{Sb}_{(16)}$

1973

Bardin Y., et al

mass I, cup. 2H

298-858



(an SGT) I

*Cu<sub>3</sub>SbSe<sub>4</sub>*

8 Б722. Фазовая диаграмма и свойства Cu<sub>3</sub>SbSe<sub>4</sub> и  
других соединений A<sub>3</sub><sup>I</sup>B<sup>V</sup>C<sub>4</sub><sup>VI</sup>. Scott Walter,  
Kench J. R. Phase diagram and properties of Cu<sub>3</sub>SbSe<sub>4</sub>  
and other A<sub>3</sub><sup>I</sup>B<sup>V</sup>C<sub>4</sub><sup>VI</sup> compounds. «Mater. Res. Bull.»,  
1973, 8, № 10, 1257—1267 (англ.)

1973

Методами ДТА, рентгенографии, оптич. микроскопии, металлографии, электропроводности, оптич. и ИК-спектроскопии и рентгеновского микроанализа изучены св-ва Cu<sub>3</sub>SbS<sub>4</sub> (I) и изучена фазовая диаграмма системы Cu—Sb—Se вдоль разреза Cu<sub>0,75</sub>Sb<sub>0,25</sub>—Se. Монокристаллы I получены выращиванием по Бриджмену из препарата I чистотой 99,9999% в кварцевой ампуле медленным охлаждением от т-ры отжига 800°; скорость роста монокристаллов I составляла ~2 мм/час. Выращенные монокристаллы были гомогенизированы отжигом при 650° в течение 16 час и закалены в лед. воду. В нек-рых случаях монокристаллы I были легированы добавками Zn. Из фазовой диаграммы очевидно, что I имеет никон-груэнтный характер плавления и образуется по перитектич. р-ции при ~390° из жидкости состава Cu<sub>0,43</sub>Sb<sub>0,14</sub>Se<sub>0,43</sub>. При затвердевании расплава I образуются четыре фазы: Cu<sub>2</sub>Se, Cu<sub>3</sub>SbSe<sub>4</sub>, Sb<sub>2</sub>Se<sub>3</sub> и Se. Моно-

55-2893

\*

Cu-As-Te

(4)

☒

(Ти)

2. 1974

18

кристаллы I проиндицированы в кубич. сингонии с параметром элементарной ячейки 5,63 $\text{\AA}$ , однако небольшое расщепление рефлексов для больших значений углов указывает на небольшое искажение кубич. структуры. Чистые и легированные (0,05 вес.% Zn) монокристаллы I характеризуются *p*-типом проводимости, конц-ия носителей  $\sim 2 \cdot 10^{19}$  и  $3 \cdot 10^{18} \text{ см}^{-3}$  соотв. по измерениям коэф. Холла. Монокристаллы I с большим содержанием Zn (0,5 вес.%) являются полупроводниками *n*-типа с конц-ией носителей  $3 \cdot 10^{17} \text{ см}^{-3}$ . По оптич. поглощению ширина запрещенной зоны I при коми. т-ре составляет  $0,25 \pm 0,05$  эв. Попытки роста других монокристаллов типа  $\text{Cu}_3\text{BV}_{\text{C}_4}^{\text{VI}}$  аналогичным методом свидетельствуют о том, что только соединение  $\text{Cu}_3\text{AsSe}_4$  (II) может быть получено т. обр., т. к. II образуется по перитектич. р-ции при  $440^\circ$  и имеет ликонгруэнтный характер плавления. При выращивании монокристаллов  $\text{Cu}_3\text{AsTe}_4$  и  $\text{Cu}_3\text{SbTe}_4$  образуются только бинарные соединения  $\text{Cu}_2\text{Te}$ ,  $\text{As}_2\text{Te}_3$ ,  $\text{Cu}_4\text{Te}_3$ ,  $\text{CuTe}$  или  $\text{Sb}_2\text{Te}_3$ . По-видимому, отриц. результаты обусловлены тем фактом, что тройные теллуриды  $\text{Cu}_3\text{BV}_{\text{Te}_4}$  вообще не существуют.

А. В. Салов

одим

~~Cu<sub>2</sub>SbS<sub>3</sub>~~

Б9-XVI-2177

1974

У 4 Б984. Ядерный квадрупольный резонанс  $^{63,65}\text{Cu}$  и  
 $^{121,123}\text{Sb}$  в стибиовиттихените ( $\text{Cu}_3\text{SbS}_3$ ). Абдул-  
лин Р. С., Пеньков И. Н., Сафин И. А., Ягфа-

~~AB<sub>T\_2T\_2'</sub>, dHe<sub>2</sub>~~

(см на обороте)

2.1975. №

ров М. Ш. «Докл. АН СССР», 1974, 218, № 4,  
859—862

Методами ЯКР ( $\text{Cu}^{63,65}$  и  $\text{Sb}^{121,123}$ )-спектроскопии и калориметрии изучены фазовые переходы в синтетич. стибновиттихените —  $\text{Cu}_3\text{SbS}_3$  (I). Исследуемый образец I получен спеканием порошкообразных  $\text{Cu}_2\text{S}$  и  $\text{Sb}_2\text{S}_3$  и соответствовал составу  $\text{Cu}_3\text{SbS}_{2,99}$ . I кристаллизуется в ромбич. сингонии с параметрами ячейки  $a = 6,55$ ,  $b = 7,79$ ,  $c = 10,19$  Å,  $Z=4$ . Установлено, что при  $77^\circ\text{K}$  атомы Sb в структуре I кристаллохимически эквивалентны, а атомы Cu расположены в трех неэквивалентных положениях. Параметр асимметрии  $\text{Sb}^{123}$  с повышением температуры заметно возрастает и достигает максимума при  $204^\circ\text{K}$ , не изменяясь далее. Из калориметрич. данных установлено, что при этой температуре происходит фазовый переход 2-го рода, а по отсутствию изменения величины энтропии ( $\Delta S$ ) предположено, что это фазовый переход типа смешения. При  $\sim 270^\circ\text{K}$  зафиксирован также фазовый переход первого рода ( $\Delta S = 0,43$  дж/моль·град).

А. В. Салов

1974

Cu<sub>3</sub>SbS<sub>3</sub>

11 Б531. Скиннерит, Cu<sub>3</sub>SbS<sub>3</sub>, новая сульфосоль из щелочной интрузии, Южная Гренландия. Ка-гир-Моллер Свен, Makovicky Emil. Skinnerite, Cu<sub>3</sub>SbS<sub>3</sub>, a new sulfosalt from the Ilmaussaq alkali-ne intrusion, South Greenland. «Amer. Miner.», 1974, 59, № 9—10, 889—895 (англ.)

Приведены данные хим. (электронный микроанализатор), оптич. и рентгенографич. (методы порошка и Вейсенберга,  $\lambda$  Cu) исследования нового минерала группы сульфосолей — скриннерита (С) идеализированного состава Cu<sub>3</sub>SbS<sub>3</sub>, обнаруженного в ассоциации с др. сульфосолями и сульфидами (сенармонтитом, валентинитом, тетраэдритом, геленитом и др.) в анальцим-натролитовых жилах южной части щел. интрузии Ильмоссак (Гренландия). Состав образца С—Cu<sub>3,00</sub>Ag<sub>0,1</sub>Sb<sub>1,0</sub>S<sub>2,9</sub>. Параметры монокл. решетки:  $a$  7,81,  $b$  10,25  $c$  13,27 Å,  $\beta$  90°21'.

(Ttr)

x 1975 NII

$\rho$  (выч.), 5,10,  $Z=8$ , ф. гр.  $P2_1/c$ . Установлено полная идентичность С с ранее изученной синтетич. низкот-рной модификацией  $Cu_3SbS_3$  (фаза  $B'$ ). Как природная, так и синтетич. фаза при нагревании претерпевают фазовый переход в высокот-рную модификацию (фаза  $B$ ) с параметрами ромбич. решетки:  $a$  7,81,  $b$  10,25,  $c$  6,61 Å,  $Z=4$ , ф. гр.  $R\bar{p}ta$ . Кристаллы С полисинтетически сдвойникованы по (001). Анализ условий кристаллизации синтетич. С, а также ассоциаций и парагенезиса природных образцов позволил сделать вывод о том, что образуется С при т-ре примерно  $400^\circ$  из остаточных обогащенных металлич. составляющими магматич. р-ров, небогатых в отношении содержания S. Приведены данные рентгенограммы порошка С и кривая отражения.

С. В. Соболева

ВР-XVI-2846

1975

Cu<sub>2</sub>SbS<sub>2</sub>

8 Б613. Фазовый переход в кристаллах CuSbS<sub>2</sub>.  
Григас И., Мозгова Н. Н., Орлюкас А., Са-  
муренис В. «Кристаллография», 1975, 20, № 6,  
1226—1229

фазовый  
переход

Исследована т-рная зависимость электропроводности ( $\sigma$ ), комплексной диэлектрич. проницаемости и затухания продольного УЗ в кристаллах CuSbS<sub>2</sub>. По направлению оси  $b$  при  $300^{\circ}\text{K}$   $\sigma=2\cdot10^{-2} \text{ ом}^{-1}\cdot\text{м}^{-1}\text{а}$ , диэлек-

трич. проницаемость  $\epsilon=130$ . При т-ре  $366^{\circ}\text{K}$  обнаружены аномалии  $\sigma$ ,  $\epsilon$ ,  $\text{tg}\delta$ , изменение энергии активации  $E_g$  носителей заряда от 0,26 до 0,79 эв, коэф. затухания продольного УЗ и пироэлектрич. тока. Сделан вывод, что в области т-ры  $366^{\circ}\text{K}$  в кристаллах имеет место фазовый переход и CuSbS<sub>2</sub> является полупроводниковым соединением, в к-ром проявляется сегнетоэлек-трич. активность.

Автореферат

X1976 N8

CuSb<sub>2</sub>

BP-XVI-2846 1975

(T<sub>t2</sub>)

84: 52800q Phase transition in antimony copper sulfide ( $\text{CuSbS}_2$ ) crystals. Grigas, I.; Mozgova, N. N.; Orliukas, A.; Samulenis, V. (Vil'nyus. Gos. Univ., Vilnius, USSR). *Kristallografiya* 1975, 20(6), 1226-9 (Russ). The temp. dependences of elec. cond.: ( $\sigma$ ), complex dielec. const. ( $\epsilon$ ), and ultrasonic attenuation were investigated for crystals of  $\text{CuSbS}_2$ . Along the directed *b* axis at 300°K,  $\sigma = 2 \times 10^{-2} \text{ ohm}^{-1} \text{ m}^{-1}$  and  $\epsilon = 130$ . At 366°K anomalies in  $\sigma$ ,  $\epsilon$ , and  $\tan \delta$  were obsd., and changes in the activation energy ( $E_g$ ) of charge carriers (from 0.26 to 0.79 eV), the coeff. of attenuation of longitudinal ultrasound, and in the pyroelec. current. Thus, in the region of 366°K  $\text{CuSbS}_2$  undergoes a phase transition, and  $\text{CuSbS}_2$  is a semiconductor compd. in which ferroelec. activity is displayed.

P.A. 1976 84 N8

Cu<sub>12+x</sub>Sb<sub>4+y</sub>S<sub>13</sub>

1975

the transition temp.

(Ttr)

211481j Crystallography and phase transitions of copper-rich sulfosalts between 25 and 170°. Makovicky, E.; Makovicky, M.; Skinner, B. J. (Copenhagen, Den.). *Fortschr. Mineral.* 1975, 53(1), 52 (Eng). Cu-rich sulfosalts were studied at 25-170°. The Cu atoms changed from an ordered to disordered mobile state in this temp. interval. This caused either phase transitions or low-temp. immiscibility. Exsoln. was reversible and instantaneous in Cu<sub>12+x</sub>Sb<sub>4+y</sub>S<sub>13</sub> with the solvus crest decreasing as y increased. The structures of the 2 cubic tetrahedrite end members were discussed. Skinnerite and wittichenite underwent order-disorder transitions at 122° and 118°, resp. In skinnerite at 170° the trigonal planar Cu sites were occupied at ~0.12 instead of the expected 0.50. The rest of the Cu was mobile. In high-temp. wittichenite partially ordered states of Cu apparently appeared before full Cu mobility was reached.

C.A. 1975. 83 N 26

1975

Cu-Sb  
Copper  
Sb  
△γf

198642r Thermodynamic investigations of the copper-antimony system. Mostafa, S. N. (Fac. Sci., El-Azhar Univ., Cairo, Egypt). *J. Electroanal. Chem. Interfacial Electrochem.* 1975, 62(2), 447-50 (Ger). The molar free energy of formation and the activities in the intermetallic phases in the Cu-Sb system were detd. from emf. measurements. The emf-concn. of Sb in solid Cu diagram at 375° indicate the appearance of one and two phase regions; in the region where both phases coexist the activity is const. At 375°, more phases appear: the  $\alpha$ -phase at pure Cu and 0-8% Sb,  $\delta$ -phase at 31% Sb, K-phase at 39% Sb, and  $\gamma$ -phase at 49% Sb. The free energy of formation at 375° decreased with increasing Cu content.

C.A. 1975. 83 N24

*Cu(SbO<sub>3</sub>)<sub>2</sub>*

1976

Б1052 Деп. Термодинамический анализ системы Cu<sub>3</sub>Sb—H<sub>2</sub>O в зависимости от pH и окислительно-восстановительного потенциала раствора. Сажин Е. Н., Сушков К. В., Луганов В. А. Казахск. политехн. ин-т. Алма-Ата, 1975. 9 с., ил., библиогр. 8 назв. (Рукопись деп. в КазНИИНТИ 5 янв. 1976 г., № 70).

(46f)

Проведен термодинамич. анализ системы Cu<sub>3</sub>Sb—H<sub>2</sub>O на основании расчета диаграммы «потенциал — pH» (диаграммы Пурбэ). Определены электродные потенциалы антимонида меди и соединений, получающихся при его окислении, во всем диапазоне pH. Установлено, что при pH 3,95 и потенциалах выше 0,44 в образуется хим. соединение Cu(SbO<sub>3</sub>)<sub>2</sub>; область существования этого соединения лежит в пределах pH 3,95—4,16. С использованием диаграммы Пурбэ рассчитано значение (−230,8 ккал/моль для) станд. свободной энергии образования Cu(SbO<sub>3</sub>)<sub>2</sub>. Определены области устойчивого существования антимонида меди, окиси и закиси меди, трехокиси и пятиокиси сурьмы, а также воднор-римых окисленных соединений сурьмы.

Автореферат

х 1976

N11

1977

Cu<sub>2</sub>Sb

Cu<sub>3</sub>Sb

AfHf,

m. guss.  
C8 - Ba

88: 55668w Thermodynamic properties of liquid copper-antimony alloys. Hayer, E.; Komarek, K. L.; Castanet, R. (Inst. Inorg. Chem., Univ. Vienna, Vienna, Austria). *Czech. Conf. Calorimetry, [Lect. Short Commun.]*, 1st 1977, A1/1-A1/4 (Eng). Inst. Inorg. Chem. Czech. Acad. Sci.: Prague, Czech. Enthalpies of formation of liq. Cu-Sb alloys were detd. at 843-1374K in a Calvet-type high temp. calorimeter by direct reaction calorimetry. Between 925 and ~1200K the enthalpies were a function of temp. Assuming a linear temp. dependence excess heat capacities for the entire concn. range were calcd. The  $C_p^E$  vs.  $x(\text{Sb})$  curve shows 2 max. at  $x(\text{Sb}) = 0.25$  and  $x(\text{Sb}) = 0.50$ , resp. They were interpreted as being due to compd. formation in the liq. state of stoichiometry Cu<sub>2</sub>Sb and CuSb, resp.

C.A. 1978, 18

3 E500. Термодинамическое исследование двойной  
системы медь—сурьма. Haug Erhard, Komatek  
Kurt L., Castanet Robert. A Thermodynamic In-  
vestigation of the Binary Copper-Antimony System.  
«Z. Metallk.», 1977, 68, № 10, 688—696 (англ.; рез.  
нем.)

1977

Методом прямого синтеза в микрокалориметре типа Каузе измерены энталпии образования жидких сплавов Cu—Sb при 843—1374° К. Применены различные способы: последовательное растворение небольших кол-в твердой меди в жидкой Sb или заранее приготовленном сплаве и последовательное растворение малых кол-в Sb в твердой или жидкой Cu. Показано, что при  $x_{\text{Sb}} < 0,85$  величины  $\Delta H_f < 0$ , а при  $x_{\text{Sb}} > 0,85$  величины  $\Delta H_f > 0$ . Обнаружена зависимость  $\Delta H_f$  от т-ры в интервале 925—1200° К. В предположении, что теплоемкость ( $C_p$ ) есть линейная ф-ция т-ры, вычислены величины  $\Delta C_p$  для реакций образования сплавов. На зависимости  $\Delta C_p$  от  $x_{\text{Sb}}$  обнаружены два максимума при  $x_{\text{Sb}} \approx 0,25$  и  $x_{\text{Sb}} \approx 0,5$ , которые связываются с образованием в жидкой фазе комплексов типа  $\text{Cu}_3\text{Sb}$  и  $\text{CuSb}$ . Оценена энталпия образования твердой  $\beta$ -фазы  $(\text{Cu}_3\text{Sb})$  из жидких компонентов при 925° К, равная —

Б. Могутинов

CuSb

$\text{Cu}_3\text{Sb}$

$C_p, \Delta H_f$

ф. 1978

№ 3

1979

Sb-Cu-TeBi-Cu-Te  
(Cu<sub>2</sub>-Cu-B)

91: 182359h Thermodynamic properties of copper in liquid copper-antimony-tellurium and copper-bismuth-tellurium systems. Fuglewicz, Boguslaw; Josiak, Jerzy (Sch. Med., Inst. Chem., 50139 Wroclaw, Poi.). *Pol. J. Chem.* 1979, 53(7-8), 1447-51 (Eng). Thermo. properties of liq. Sb-Cu-Te and Bi-Cu-Te alloys were detd. from the emfs. of concn. cells.

(metalloc. Cu-Be) An- carbo c Sb, Bi

P.A.1979.G1.N22

CuSbS<sub>2</sub>

оттиск 15444 1980

16 Б430. Рост и характеристика кристаллов CuSbS<sub>2</sub>.  
Wachtel A., Noreika A. Growth and characterization  
of CuSbS<sub>2</sub> crystals. «J. Electron. Mater.», 1980, 9,  
№ 2, 281—297 (англ.)

(T<sub>m</sub>)

В процессе исследования системы Cu—Sb—S выделены след. фазы — синтетич. аналоги ряда минералов: тетраэдрич. Cu<sub>12±x</sub>Sb<sub>4±y</sub>S<sub>13</sub>, фаматинит Cu<sub>3</sub>SbS<sub>4</sub>, халькостибит CuSbS<sub>2</sub> (I), высокотривичный и низкотривичный скринерит Cu<sub>3</sub>SbS<sub>3</sub>. Подробно описаны условия синтеза кристаллов I, выращенных по методу Бриджмена — Стокбергера и приведены результаты их рентгенографич. (метод Лауэ), оптич., электрич. и термич. исследования. Кристаллы I плавятся конгруэнтио при т-ре 522,25°. Эвтектика между I и Sb<sub>2</sub>S<sub>3</sub> имеет место при т-ре 490° и 0,72 мол. доли Sb<sub>2</sub>S<sub>3</sub>. Резкое падение электрич. проводимости при 80 К дает основания предполагать фазовый переход при этой температуре. С. В. Соболева

Р 1980 № 16

CuSbS<sub>2</sub>

OMM UCL 15447 1980

92: 138797w Growth and characterization of copper antimony sulfide ( $\text{CuSbS}_2$ ) crystals. Wachtel, A.; Noreiko, A. (Westinghouse RandD Cent., Pittsburgh, PA 15235 USA). *J. Electron. Mater.* 1980, 9(2) 281-97 (Eng). The liquidus curves in the Cu-Sb-S system near  $\text{CuSbS}_2$  compn. and between  $\text{CuSbS}_2$  and  $\text{Sb}_2\text{S}_3$  were detd. by cooling arrests of seeded melts.  $\text{CuSbS}_2$  melts congruently at  $552.25 \pm 0.14^\circ$  and a eutectic occurs between  $\text{CuSbS}_2$  and  $\text{Sb}_2\text{S}_3$  at  $490 \pm 5^\circ$  and  $0.72 \pm 0.05$  mol fraction  $\text{Sb}_2\text{S}_3$ . No addnl. phases appear on the liquidus surface in this portion of the Cu-Sb-S system. Crystals of  $\text{CuSbS}_2$  were grown from the stoichiometric compn. using the Bridgeman-Stockbarger method. At room temp., the band gap of  $\text{CuSbS}_2$  is 0.28 eV; however below 80K, a drop in resistivity suggests the appearance of a new phase. Measurements of photocond. suggest that the band gap of the low-temp. phase is greater than 0.58 eV.

(T<sub>m</sub>)

P.A. 1980.92 116

*Cu<sub>3</sub>SbS<sub>3</sub>*

15 Б382. Полиморфизм скиннерита, Cu<sub>3</sub>SbS<sub>3</sub>. Whit-  
field Harold J. Polymorphism in skinnerite, Cu<sub>3</sub>SbS<sub>3</sub>.  
«Solid State Commun.», 1980, 33, № 7, 747—748 (англ.)

1980

Рентгенографическое (метод прецессии, высокот-рная съемка) исследование, ЯМР соединения Cu<sub>3</sub>SbS<sub>3</sub> показало, что оно существует в 3 полиморфных модификациях: низкот-рной ромбич. (I), устойчивой вплоть до 263 К и двух высокот-рных: монокл. (II), устойчивой в трном интервале 263—395 К, и ромбич. (III), устойчивой выше 395 К вплоть до т. пл. 888 К. Для I определен структурный тип виттиченита (низкот-рная модификация Cu<sub>3</sub>BiS<sub>3</sub>) и параметры ромбич. решетки:  $a = 7,84$ ,  $b = 10,22$ ,  $c = 6,60$ , ф. гр. P2<sub>1</sub>2<sub>1</sub>2<sub>1</sub>. Для II определена монокл. решетка с параметрами:  $a = 7,81$ ,  $b = 10,24$ ,  $c = 13,27$  Å,  $\beta = 90,4^\circ$ , ф. гр. P2<sub>1</sub>/c. III изоструктурна высокот-рной модификации Cu<sub>3</sub>BiS<sub>3</sub>. Параметры ромбич. решетки III  $a = 7,81$ ,  $b = 10,25$ ,  $c = 6,60$  Å, ф. гр. Rnma. Рентгенографич. исследование Cu<sub>3</sub>SbSe<sub>3</sub> показало, что при 295 К это соединение изоструктурно III и характеризуется параметрами ромбич. решетки:  $a = 7,97$ ,  $b = 10,61$ ,  $c = 6,83$ . На базе полученных структурных данных дается интерпретация спектров ЯМР для I при различных температурах.

С. В. Соболева

*Ttr, Tm*

*X 1980 n/15*

*Cu<sub>3</sub>SbS<sub>3</sub>*

1980

92: 189410x Polymorphism in skinnerite, copper antimony sulfide ( $\text{Cu}_3\text{SbS}_3$ ). Whitfield, Harold J. (Div. Chem. Phys., CSIRO, Clayton, 3168 Australia). *Solid State Commun.* 1980, 33(7), 747-8 (Eng). The phase transitions were studied in  $\text{Cu}_3\text{SbS}_3$  by x-ray diffraction and NQR. At  $<263$  K, it has the wittichenite structure (space group  $P2_12_12_1$ ). At  $263-395$  K, it is monoclinic, space group  $P2_1/c$  and at  $<395$  K it is orthorhombic, space group  $Pnma$ . The structure of  $\text{Cu}_3\text{SbSe}_3$  at 295 K is orthorhombic, space group  $Pnma$ , with  $a$  7.97,  $b$  10.61 and  $c$  6.83 Å.

(Tzr)

CA 1980 92 n22

*Cu<sub>3</sub>SbS<sub>3</sub>*

1980

- 9 E800. Полиморфизм в скинерите Cu<sub>3</sub>SbS<sub>3</sub>. Polymorphism in skinnerite, Cu<sub>3</sub>SbS<sub>3</sub>. Whitfield Harold J. «Solid State Commun.», 1980, 33, № 7, 747—748 (англ.).

*исследование  
переходов.*

Методом ЯМР и рентгенографически исследованы фазовые переходы в Cu<sub>3</sub>SbS<sub>3</sub> при т-рах от комнатной до 77° К. При т-рах ниже 263° К структура Cu<sub>3</sub>SbS<sub>3</sub> аналогична структуре Cu<sub>3</sub>BiS<sub>3</sub>, пр. гр. P2<sub>1</sub>2<sub>1</sub>2<sub>1</sub>, параметры решетки  $a=7,84$ ,  $b=10,22$ ,  $c=6,60$  Å. От 263 до 396° К CuSbS<sub>3</sub> имеет моноклинную решетку, пр. гр. P2<sub>1</sub>/c, параметры решетки  $a=7,81$ ,  $b=10,24$ ,  $c=13,27$  Å,  $\beta=90,4^\circ$ , выше 395° К решетка орторомбическая, пр. гр. Pnma, параметры решетки  $a=7,81$ ,  $b=10,25$ ,  $c=6,60$  Å. Аналог скинерита — соединение селена Cu<sub>3</sub>SbSe<sub>3</sub>, обработанное так же, как и Cu<sub>3</sub>SbS<sub>3</sub>, при комнатной т-ре имеет аналогичную орторомбич. решетку, пр. гр. Pnma, параметры решетки  $a=7,97$ ,  $b=10,61$ ,  $c=6,83$  Å.

Ю. Шиянов

φ. 1980 NG

~~Cu<sub>3</sub>SbS<sub>3</sub>(k)~~ CA 99-44285

1981

~~Cu<sub>3</sub>SbS<sub>4</sub>(k)~~ [Om. 22586]

09: 44285v Study of the thermodynamic properties of sulfides in a Calvet microcalorimeter. Il'yasheva, N. A.; Nenashev, B. G. (USSR). *Eksp. Issled. Sul'fidnykh Silik. Sist.* 1981, 68-73 (Russ). Edited by Godovikov, A. A. Akad. Nauk SSSR, Sib. Otd., Inst. Geol. Geofiz.: Novosibirsk, USSR. Heats of fusion were detd. of prustite ( $Ag_3AsS_3$ ) and Zn and Sb in order to test the variation of the method. Results were compared to the literature (exptl.) data. The heat of reaction of S with  $Cu_3SbS_3$  (to  $Cu_3SbS_4$ ) was detd. at 720 K as a function of the reacting amt. of S.

$\Delta_f H^\circ$

$\Delta_f H^\circ$

*Cu<sub>3</sub>SbS<sub>5</sub>*

1981

*3tx*

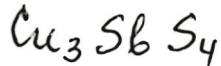
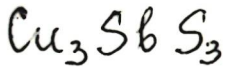
*Cu<sub>3</sub>SbS<sub>5</sub>y*

94: 146155s Calorimetric determination of partial enthalpy of sulfur in a copper antimony sulfide ( $\text{Cu}_3\text{SbS}_3$ - $\text{Cu}_3\text{Sb}_2\text{S}_4$ ) series. Il'yasheva, N. A. (Inst. Geol. Geofiz., Novosibirsk, USSR). *Izv. Akad. Nauk SSSR, Neorg. Mater.* 1981, 17(2), 228-32 (Russ). The heats of reaction of skinnerite,  $\text{Cu}_3\text{SbS}_3$ , with predetd. amts. of S were detd. at 720 K. The heats of formation of tetrahedrite,  $\text{Cu}_3\text{SbS}_{3+1}$ , and fumatinite,  $\text{Cu}_3\text{SbS}_4$ , were thus evaluated.

(AII-f)

P. A 1981.04 118

1981



11 Б842. Калориметрическое определение парциальной энталпии серы в ряду  $\text{Cu}_3\text{SbS}_3$ — $\text{Cu}_3\text{SbS}_4$ . Ильяшева И. Л. «Изв. АН СССР. Неорган. материалы», 1981, 17, № 2, 228—232

При т-ре 720 К на микрокалориметре Кальве измерен тепловой эффект р-ции скринерита,  $\text{Cu}_3\text{SbS}_3$  (I) с серой (II) при составе смеси от 0,0490 до 0,32 мол. долей II. Уточнены пределы содержания II в тетраэдрите (III). Состав III в изученном разрезе м. б. выражен ф-лом  $\text{Cu}_3\text{SbS}_{3+x}$  ( $0,15 < x < 0,195$ ). Энталпии образования III по р-ции I+II+III при изменении  $x$  в указанных пределах изменяются от 17,73 до  $21,51 \pm 0,55$  ккал/моль. Энталпия образования фаматинита по р-ции I+II $\rightleftharpoons$  $\text{Cu}_3\text{SbS}_4$  равна  $68,75 \pm 1,5$  ккал/моль. Парц. энталпия серы в ряду  $\text{Cu}_3\text{SbS}_3$ — $\text{Cu}_3\text{SbS}_{3,15}$  меняется след. образом: на участке  $\text{Cu}_3\text{SbS}_3$ — $\text{Cu}_3\text{SbS}_{3,15}$  она равна 116,1 ккал/моль·моль S; на участке  $\text{Cu}_3\text{SbS}_{3,15}$ — $\text{Cu}_3\text{SbS}_{3,195}$  90,0 ккал/моль·моль S, на участке  $\text{Cu}_3\text{SbS}_{3,195}$ — $\text{Cu}_3\text{SbS}_4$  58,4 ккал/моль·моль S. Автореф.

 $\Delta H_f$ 

2.1981.11

Омск 11671 1981

Cu<sub>x</sub>Sb<sub>y</sub>  
Ag<sub>x</sub>Sb<sub>y</sub>  
Au<sub>x</sub>Sb<sub>y</sub>  
Au<sub>x</sub>Bi<sub>y</sub>

☒ (43)

C<sub>p</sub>; H<sub>T</sub>-H<sub>T<sub>2</sub></sub>  
(сплавы)

Х 1981 N 18

18 Б852. Теплоемкость и энталпия некоторых фаз Юм-Розери, образованных медью, серебром и золотом. Часть I. Системы Cu+Sb, Ag+Sb, Au+Sb, Au+Bi. Wallbrecht Peter C., Blaschitz Roger, Mills Kenneth C. The heat capacity and enthalpy of some homogeneous phases formed by copper, silver and gold. Part I. Cu+Sb, Ag+Sb, Au+Sb, Au+Bi systems. «Thermochim. acta», 1981, 45, № 2, 189—198 (англ.)

Теплоемкость  $C_p$  и энталпия  $H_{T_1}-H_{T_2}$  нескольких сплавов — фаз Юм-Розери — определена в интервале 230—800 К с использованием ДСК типа Перкин—Элмер. Калибровка калориметра производилась по  $C_p$  Ag, отклонение от лит. данных менее 2% ниже 1000 К. Сплавы готовились из металлов чистотой 99,9995% сплавлением в эвакуированных кварцевых ампулах с закалкой в ледяной воде. Гомогенизация проводилась несколько дней при т-рах на 5 К ниже т. солидуса с последующим медленным охлаждением до 20°. Образцы измельчены и спрессованы в штабики. Эффекты наклея-па ликвидированы длительным отжигом. Сплавы охарактеризованы металлографич. и рентгенографич. ана-

лизом.  $C_p$  гексаг.  $\epsilon$ -фазы  $\text{Cu}_{0,81}\text{Sb}_{0,19}$  с отношением эл/атом 21/12 не обнаруживает аномалий в интервале 250—630 К,  $C_p = 23,56 + 7,57 \cdot 10^{-3} T - 68631 \cdot T^{-2}$  Дж/К моль· $C_p$  тетрагон.  $\text{Cu}_2\text{Sb}$  обнаруживает аномалию при 700 К, указывающую на присутствие примеси  $\chi$ -фазы, к-рая имеет превращение при 710 К.  $C_p \text{ Cu}_2\text{Sb} = 23,67 + 7,18 \cdot 10^{-3} T - 54620 \cdot T^{-2}$  Дж/Кмоль (250—600 К) в хорошем согласии с данными Шубеля 1914 г.  $C_p$  сплавов  $\beta$ -фазы двух составов  $\text{Cu}_{0,75}\text{Sb}_{0,25}$  и  $\text{Cu}_{0,715}\text{Sb}_{0,285}$  измерена при 250—800 К. Обнаружены аномалии при 600—800 К, указывающие на превращения в тв. состоянии. Эндотермич. превращение при 760 К связывается с распадом  $\pi$ -фазы. Расчет  $\Delta H_{\text{пр}}$  из  $C_p$ -данных приводит к оценке 3,2 кДж/моль,  $C_p \text{ Cu}_{0,75}\text{Sb}_{0,25} = 24,17 + 7,07 \cdot 10^{-3} T - 76418 \cdot T^{-2}$  Дж/моль·К (250—570 К).  $C_p \text{ Ag}_{0,9}\text{Sb}_{0,1}$  с отношением эл/атом = 21/14 измерена при 200—700 К. В области 450—550 К обнаружена небольшая аномалия. Для состава  $\text{Ag}_{0,77}\text{Sb}_{0,23}$   $C_p = 32,83 + 8,42 \cdot 10^{-3} T + 2013 \cdot T^{-2}$  Дж/К·моль (250—600 К). Аномалий  $C_p$  не обнаружено, однако изменение наклона кривой указывает на возможность превращения при 800 К. Измерения  $C_p \text{ Au}_{0,34}\text{Sb}_{0,66}$  проведены при 250—750 К. Обнаружены две аномалии  $C_p$ , к-рые отражают превращения  $\text{Au} + \text{AuSb}_2 \rightarrow$  эвтектика и  $\text{ж} + \text{AuSb}_2 \rightarrow \text{ж}$  при 634 и 740 К, что согласуется с диаграммой состояния.  $C_p \text{ Au}_{0,34}\text{Sb}_{0,66} = 22,94 + 7,96 \cdot 10^{-3} T - 9162 \cdot T^{-2}$  Дж/К·моль. Значения  $C_p$  Егера (1932 г) находятся в хорошем согласии с наст. работой.  $\Delta H_{\text{пл}} = 20$  кДж/моль,  $\Delta S_{\text{пл}} = 27$  Дж/К·моль.  $C_p \text{ Au}_{0,67}\text{Bi}_{0,33}$  измерена при 250—700 К. Обнаружены аномалии при 514 и 646 К, к-рые связаны с эвтектич. и перитектич. превращениями и указывают, что сплав содержал свободный Bi.  $C_p = 24,54 + 6,25 \cdot 10^{-3} T - 30105 \cdot T^{-2}$  Дж/К моль (250—510 К). Калориметрич. данные использованы для трактовки диаграммы состояния.

Л. А. Резницкий

Ci 86

1982

197: 99339e Thermodynamic properties of solid copper-antimony alloys. Brodowsky, Horst; Fruma, Alexander; Sagunski, Helmut; Schaller, Hans Juergen (Inst. Phys. Chem., Univ. Kiel, D-2300 Kiel, Fed. Rep. Ger.). *Z. Metallkd.* 1982, 73(6), 354-9 (Ger). The thermodn. properties of solid Cu-Sb alloys were detd. at 650-880 K by emf. measurements on galvanic cells with  $\text{ZrO}_2:\text{CaO}$  as a solid electrolyte. Heats of mixing calcd. from the temp. dependence of the emf. agreed with calorimetric data. The activity of Sb in Cu-rich alloys shows very small deviations from Raoult's law. Two opposing effects are held responsible for this behavior: the leveling of the Fermi energies of the components upon the transfer of Sb valence electrons to the electron gas of the alloy increasing the solv. of Sb and the lattice distortion upon introducing Sb into the host lattice reducing the solv. of Sb.

Gulab,

Mepmos. cb-lg

© A. 1982, 27, 112

Сивех

1982

) 20 Б890. Активность кислорода в жидких сплавах CuSb и CuGe. Activities of oxygen in liquid Cu—Sb and Cu—Ge alloys. Otsuka Shinya, Matsumura Yoshihiro, Kozuka Zensaku. «Met. Trans.», 1982, В 13, № 1—4, 77—83 (англ.)

Методом кулонометрич. Тт с тв. электролитом определены активности кислорода в жидких Cu—Sb и Cu—Ge сплавах при 1373 К. Использовался гальванич.

элемент типа О (в расплаве) /  $ZrO_2 + 5\% CaO$  / воздух, Pt. Изучена  $a_O$  в сплавах Cu—Sb<sub>x</sub>,  $x = 0,06; 0,13; 0,20; 0,30; 0,40; 0,55; 0,70$  и 0,85, а также в сплавах Cu—Ge<sub>y</sub>,  $y = 0,10$  и 0,40. Токовводами являлись Pt или tantalовые проволоки, приваренные к Pt-вводам, непосредственно погруженным в расплав. Вычислены  $\Delta G^{\circ}$  и  $In \gamma_O$  в расплаве. Подтверждено наличие точки перегиба  $In \gamma_O$  на

(+)

Сивех

X. 1983, 19, N 20

конц-ионных кривых в соответствии с квазихим. теорией Джекоба и Алкока. Опытные данные, однако, существенно отличаются от предсказываемых теорией. Лучшее соответствие эксперимента наблюдается с теорией Вагисера, учитывающей один или два энергетич. параметра и координацию О в расплаве ( $K\chi=6$ ) в предположении параболич. зависимости энергии сольватации от  $K\chi$  растворенного кислорода.

Л. А. Резницкий

$\text{Cu}_2\text{Sb}$

1983

Castaret R.,  
Mathieu J. C.

G.; J. Therm. Anal., 1983, 28,  
N<sup>o</sup> 2, 259 - 272.

(see:  $\text{Y}_{12}\text{Te}_3$ ; I)

СиSbX

1983

9 E558. Равновесие  $\alpha$ -твердого раствора с расплавом сплавов медь — сурьма. Fest-Flüssig-Gleichgewichte im  $\alpha$ -Mischkristallbereich des Systems Kupfer-Antimon.

Hehenkamp Theodor, Kossak Rainer. «Z. Metallk.», 1983, 74, № 4, 195—198 (нем.; рез. англ.)

При помощи чувствительного диффер. калориметра определены т-ры солидуса и ликвидуса в области равновесий  $\alpha$ -твердый раствор — расплав системы Cu—Sb. Полученные результаты отличаются от имеющихся в литературе данных.

И. А. К.

90, 1983, 18, № 9

*Cu<sub>9</sub>Sb<sub>4</sub>O<sub>19</sub>*

*1983*

10 E6. Синтез нового оксида меди и сурьмы, Cu<sub>9</sub>Sb<sub>4</sub>O<sub>19</sub> при твердофазной реакции между CuO и CuSb<sub>2</sub>O<sub>6</sub> при высоком давлении. Synthesis of a new copper antimony oxide, Cu<sub>9</sub>Sb<sub>4</sub>O<sub>19</sub>, by solid state reaction between CuO and CuSb<sub>2</sub>O<sub>6</sub> under high pressure. Shimada Shiro, Kodaira Kohei, Matsushita Toru. «Chém. Lett.», 1983, № 12, 1875—1876 (англ.)

*параллельные  
лишёнки*

Взаимодействием CuO и CuSb<sub>2</sub>O<sub>6</sub>, взятых в мол. отношении 3,5 : 1 при 1000°C/10 кбар в Pt-контейнере получен желто-зеленый Cu<sub>9</sub>Sb<sub>4</sub>O<sub>19</sub> (I). Рентгенографич. (метод порошка) изучение I указало на кубич. симметрию его решетки (объемноцентрир. ячейка) с параметром  $a$  9,620 Å. Приведены значения  $I$ ,  $d$ ,  $hkl$  I.

М. Б. Варфоломеев

*X. 1984, 19, N10*

Cu(SbS<sub>2</sub>)<sub>2</sub>

1984

7 В19. О взаимодействии трехсернистой сурьмы с сульфатом меди (II). Сообщение И. Нуриев А. Н., Рзаев Б. З., Параев А. М. «Комплекс. использ. природ. ресурсов Нахичеван. АССР». Баку, 1984, 3—7

Исследованы условия взаимодействия трехсернистой сурьмы и сернокислой меди (2+) в р-ре. Установлено образование Cu(SbS<sub>2</sub>)<sub>2</sub> (I). Состав I подтвержден хим. анализом и снятием термограммы осадка. Изучены некоторые св-ва I и вычислено произведение р-римости, к-рое соответствует  $1,64 \cdot 10^{-14}$ . Определены скорости осаждения и фильтрации I.

Резюме

св-ва

X. 1985, 19, n 7

Lusibx

DM. 18271

1984

Said H., Castanet R.,  
et al.,

(H, ss)

J. less - Common Me-  
tals, 1984, 96, 49-91.

Система

1984

$\text{ArF}_2 - \text{SF}_3 - \text{H}_2\text{O}$  Махназаров А.А.,  
Ахунтаров Р.Р. УГР,

Лурк. Нептун. Хемии,  
1984, 29, фев. 11, 2911-2914.

Lilac S'bcsey

(OM.216d3)

1985

Тюмень ил. Н., Воронежская  
р. Д. В., Тобольский ил. В.

переводчик.

Характер. Члв. выгов. Хорош  
и хим. мексик., 1985,  
28, N 4, 7-11.

*Cu<sub>2</sub>Sb*

*1985*

) 3 Б2036. Cu<sub>2</sub>Sb и родственные структуры. The Cu<sub>2</sub>Sb and related structures. Pearson W. B. «Z. Kristallogr.», 1985, 171, № 1—2, 23—39 (англ.)

Исследованы кристаллохим. особенности фаз СТ Cu<sub>2</sub>Sb и родственных СТ. Показано, что ни анализ координаты  $z$  атомов (в рамках СТ Cu<sub>2</sub>Sb), ни рассмотрение хим. природы атомов не позволяют априори установить порядок размещения атомов по позициям. Лишь вычисление обл. влияния многогранников Дирихле позволяет это определить. Разделение фаз внутри СТ Cu<sub>2</sub>Sb на 2 группы обосновано различной хим. природой входящих атомов и физ. св-вами. Ю. А. Малиновский

*X. 1986, 19, N 3*

*Cu<sub>9</sub>Sb<sub>4</sub>O<sub>19</sub>*

*1985*

5 Б2215. Получение и свойства нового двойного оксида меди и сурьмы Cu<sub>9</sub>Sb<sub>4</sub>O<sub>19</sub>. Preparation and characterization of a new copper antimony oxide, Cu<sub>9</sub>Sb<sub>4</sub>O<sub>19</sub>. Shimada S., Kodaira K., Matsushita T. «J. Solid State Chem.», 1985, 59, № 2, 237—241 (англ.)

С использованием техники высоких давл. при 10 кбар и 1000—1100° С методом твердофазного синтеза (из смеси CuO + CuSb<sub>2</sub>O<sub>6</sub>, взятых в мольном отношении 3,5 : 1) получен новый двойной оксид Cu<sub>9</sub>Sb<sub>4</sub>O<sub>19</sub> (I, состав определен по данным рентгеновского флюоресцентного анализа, валентное состояние Cu<sup>2+</sup> и Sb<sup>5+</sup> — методами рентгеновской фотоэлектронной спектроскопии). Установлено, что изменение валентного состояния Cu<sup>2+</sup> до Cu<sup>+</sup> при  $\geq 1200^{\circ}$  С препятствует образованию I. По данным рентгенографич. исследования (λ Cu, метод порошка) кристаллы I кубич., a 9,620 Å. Приведены значения I и d.

Г. Д. Илюшин

*X. 1986, 19, N 5*

Cu - Sb

1986

Dziewidek L., Botor J.

Adv. Mass Spectrom., 1985.

10th Int. Conf., Swansea, 9-13

Sept., 1985. Pt B. Chichester,  
1986, 1025- 1026.

Kp;

(csl. Cu - As; I)

Cu<sub>x</sub>Sb  
Cu<sub>9</sub>Sb<sub>2</sub>

1986

1 E737. Реакция в твердом состоянии в тонких слоях бинарной системы Cu/Sb. Réaction à l'état solide dans les couches minces du système binaire Cu/Sb. Halimi R., Hamana D., Chpilevski E. M. «Thin Solid Films», 1986, 139, № 2, 147—155 (фр.; рез. англ.)

Методами рентгеновской и электронной дифракции исследована структура интерметаллич. соединений в тонких слоях системы Cu/Sb в температурном интервале 473—623 К. Тонкие пленки Cu и Sb напылялись в вакууме  $10^{-6}$  Тор на поверхность стекла или кристалла NaCl. Слой Cu осаждался на подложку при комнатной т-ре со скоростью 20 Å/с, слой Sb — при 333 К со скоростью 3 Å/с. Толщина образцов от 1400 до 5000 Å. Установлено, что фаза Cu<sub>2</sub>Sb начинает возникать еще в процессе осаждения второго слоя. В интервале т-р 473—573 К существует только эта фаза, хотя диаграмма равновесия предусматривает 2 фазы — Cu<sub>2</sub>Sb и Cu<sub>9</sub>Sb<sub>2</sub>. Дополнительный отжиг при 623 К приводит к образованию обеих фаз, но только когда

ф. 1987, 18, № 1

конц-ия Cu  $N_{\text{Cu}}$  превышает конц-ию Sb  $N_{\text{Sb}}$ . Если отжиг при 623 К осуществляется непосредственно после осаждения, образуются обе фазы  $\text{Cu}_2\text{Sb}$  и  $\text{Cu}_9\text{Sb}_2$ , причем при  $N_{\text{Cu}} > N_{\text{Sb}}$  фаза  $\text{Cu}_2\text{Sb}$  полностью переходит в  $\text{Cu}_9\text{Sb}_2$ , а при  $N_{\text{Cu}} < N_{\text{Sb}}$  фазы сосуществуют. Соединение  $\text{Cu}_2\text{Sb}$  имеет тетраг. структуру,  $\text{Cu}_9\text{Sb}_2$  — сверхструктуру типа плотной гексаг. упаковки. А. И. Коломийцев

Сибирь СЗ | Ом. 26635 |

1987

(К)

Королев Т.А., Наско-  
ва Р.А. и др.,

Рам, №

изд. Академия наук ССР. Сер.  
хим., 1987, №3,

12-16.

1988

4 Б3064  
4 Б3064  
4 Б3064

4 Б3064. Фазовые равновесия и термодинамические свойства системы Cu—Sb—S(Se) / Кулев А. А., Юсифов Ю. А., Джаррафов Я. И., Бабаилы // 3 Всес. конф. по физ.-хим. основам технол. сегнетоэлектр. и родств. матер., Звенигород, 24—28 окт, 1988: Тез. докл. М., 1988.— 63.— Рус.

Методами ДТА, РФА и микроструктурного анализа, а также измерением микротвердости и э. д. с. концентрац. цепей типа Cu(s)/глицерин+KCl+CuCl/(Cu—Sb—X)(s), где X=S, Se, в т-ром интервале 300—450 К (для сульфидов 300—390 К) исследованы системы Cu—Sb—X в обл. составов  $Cu_2X-Sb_2X_3-X$ . Установлено образование тройных соединений типа  $CuSbX_2$ ,  $Cu_3SbX_3$  и  $Cu_2SbX_4$  с узкими (не более 0,5 ат.%) при 400 К обл. гомогенности. Для составов, богатых серой и селеном, обнаружены широкие обл. расслаивания в

ж. 1989, № 4

жидк. состояний. Показано, что полигермич. сечения  $\text{CuSbX}_2$ —Х квазибинарны и образуют фазовые диаграммы монотектич. типа. Стабильными ниже солидуса являются также сечения  $\text{Cu}_3\text{SbX}_3$ —Х и  $\text{Cu}_3\text{SbX}_3$ —халькогениды меди. Из данных э. д. с. вычислены  $-\Delta_f G^\circ_{298}$  и  $-\Delta_f H^\circ_{298}$  для образования соотв.:  $\text{CuSbS}_2$   $119 \pm 5$  и  $116 \pm 7$ ;  $\text{Cu}_3\text{SbS}_4$   $184 \pm 4$  и  $164 \pm 13$ ;  $\text{CuSbSe}_2$   $94 \pm 4$  и  $90 \pm 6$  кДж/моль.

А. С. Гузей

Ли Сб № 2 Кулесов А.А., Дикашаров  
Ли Сб № 4 г. У. в зр., 1988

Ли Сб № 2 Тіршеводим. сб-бо некоторых  
системах типа  $Cu-B^{IV}(B^V)-X$

$(\Delta H_f, \delta_{298})$  XII Всесоюзная конференция  
по химической термодинамике  
и калории  метали, межвиды  
стекловых докладов,

2. I, emp. 135; Тюмень, 1988г.

Cu-Sb  
Grullab

1988

(P<sub>Sb</sub>)

109: 238317c Vapor pressure of antimony and its activities in liquid copper-antimony alloys. Liu, Xiangjun; Tan, Guoliang; Mao, Yuwen; Wang, Jian (Beijing Univ. Iron Steel Technol., Beijing, Peop. Rep. China). *Jinshu Xuebao* 1988, 24(2), B98-B102 (Ch). The vapor pressures of Sb in liq. Cu-Sb alloys ( $x_{Sb} = 0.262-0.815$ ) were measured at 820-1060 K by means of the torsion effusion method. Activities of Sb were calcd. from the obtained data and those of Cu by Gibbs-Duhem integration. Problems about the exptl. techniques have also been discussed.

C.A. 1988, 109, n 26

Си Sb

1989

7 E796. Кинетика образования соединений в тонких пленках Cu—Sb. Kinetics of compound formation in Cu—Sb thin films / Halimi R., Megabet A. // Surface Sci.—1989.—223, № 3.—C. 599—606.—Англ.

Методами обратного резерфордовского рассеяния (ионы Не с энергией 1,4 МэВ) и рентгенографии (CuК $\alpha$ -излучение) изучены процессы образования интерметаллич. соединений при отжиге в интервале 150—600° С в течение 10—230 мин последовательно напыленных на стекло (термич. испарение в вакууме  $10^{-6}$  Torr) пленок Cu (напыление при 350° С) и Sb (напыление при 60° С) с общей толщиной 1200—5000 Å. При отжиге в интервале 150—300° С образуется стабильное при более низких т-рах соединение Cu<sub>2</sub>Sb с тетраг. решеткой ( $a=5,62$  Å,  $c=6,07$  Å). Последующий отжиг в интервале 350—600° С приводит к возникновению стабильного соединения Cu<sub>9</sub>Sb<sub>2</sub> с гексаг. решеткой ( $a=10,84$  Å,  $c=8,61$  Å). Обсуждена связь энергии образования с возникновением той или иной структуры.

В. Л.

φ. 1991, № 7

*CuSbSe<sub>2</sub>*

*1989*

1 Б2331. Получение, очистка и некоторые свойства соединения  $\text{CuSbSe}_2$  / Риган М. Ю. Стасюк Н. П., Ткаченко В. И. // Высокочист. вещества.— 1989.— № 5.— С. 147—152.— Рус.

Предварительными опытами установлено, что использование элементарных и бинарных компонентов, не прошедших дополнит. очистку, приводит к получению  $\text{CuSbSe}_2$  низкого кач-ва и несоответствию стехиометрич. составу. Применение комплекса методов для очистки от примесей меди, сурьмы и селена дает хорошие результаты. Кач-во выращенных кристаллов зависит также и от способа выращивания. Монокристаллы  $\text{CuSbSe}_2$  р-ряются в азотной к-те. В концентрир. серной к-те они р-ряются медленно. С повышением т-ры р-римость их увеличивается. Согласно данным термодинамич. исследований,  $\text{CuSbSe}_2$  имеет склонность к частичному разложению.

Резюме

*термо. ис-  
следов.*

*X. 1990, N 1*

Лиг 864 О19

1989

21 Б3073. Альтернативный способ [получения] смешанного оксида меди—сурьмы  $\text{Cu}_9\text{Sb}_4\text{O}_{19}$ . An alternative route to copper antimony oxide,  $\text{Cu}_9\text{Sb}_4\text{O}_{19}$  / Shimade S., Ishii T. // React. Solids.— 1989.— 7, № 2.— С. 183—186.— Англ.

Предложен метод получения  $\text{Cu}_9\text{Sb}_4\text{O}_{19}$  (I), не требующий спец. аппаратуры под высоким давл. кислорода — до 10 кбар, в к-рой I был получен ранее. Метод заключается в том, что смеси  $\text{CuO}$  и  $\text{CuSb}_2\text{O}_6$  с соотношением 3; 3,5 и 4 нагреваются в Pt-ампулах в среде кислорода при 960—1115° С 4—18 ч при давл.  $\text{O}_2$  10 бар, к-рый генерируется разл:  $\text{KClO}_4$  (или  $\text{KBrO}_3$ ,  $\text{NaClO}_3$ ) в кварцевой трубке. Pt-ампула со смесью помещается также в эту кварцевую трубку. Полученный I идентифицирован хим. анализом и рентгенографически.

Л. Г. Титов

Х. 1989, № 21

Lukkx

1989

111: 141805p Critical assessment of the thermodynamic properties of antimony-copper alloys. Teppo, O.; Taskinen, P. (Lab. Mater. Process. Powder Metall., Helsinki Univ. Technol., Espoo, Finland). Report 1988, TKK-V-B40; Order No. PB89-147524, 36 pp. (Eng). Avail. NTIS. From Gov. Rep. Announce. Index (U. S.) 1989, 89(9), Abstr. No. 922,466. The phase diagram and the soln. thermodn. of the binary system antimony-copper were critically assessed by using simultaneously exptl. thermodn. and phase diagram information. The thermodn. model parameters of the soln. phases and the Gibbs energies of the intermetallic compds. were optimized by the Lukas program.

(1f)

C.A. 1989, 111, N 16

CuSbSe<sub>2</sub>

1989

III: 241503n Thermal conductivity of copper antimony selenide ( $\text{CuSbSe}_2$ ) and copper bismuth selenide ( $\text{CuBiSe}_2$ ) in the solid and liquid state. Abdelsattar, N.; Abdalgany, A.; Sharaf, K. *Jac. Sci., Al Azhar Univ., Nasr, Egypt.*, *Phys. Chem. Liq.*, 1989, 28(2-3), 131-4 (Eng). Thermal conductivities of  $\text{CuSbSe}_2$  and  $\text{CuBiSe}_2$  were studied for solid and liq. states in a wide range of temps. Measurements were carried out by using the concentric cylinder method, which is based on the flow of heat through a cylindrical wall.

(9)  CuBiSe<sub>2</sub>

c.a. 1989, 111, N26

*Cu<sub>2</sub>Se—Sb<sub>2</sub>Se<sub>3</sub>*

*№ 33452*

*1990*

17 Б3074. Диаграмма состояния системы Cu<sub>2</sub>Se—Sb<sub>2</sub>Se<sub>3</sub> в области существования соединения CuSbSe<sub>2</sub> / Головей М. И., Ткаченко В. И., Риган М. Ю., Стасюк Н. П. // Изв. АН СССР. Неорган. матер.— 1990.— 26, № 5.— С. 933—934.— Рус.

На основании данных колич. ДТА, хим. анализа, измерения микротвердости, исследования микроструктуры построен участок диаграммы состояния системы Cu<sub>2</sub>Se—Sb<sub>2</sub>Se<sub>3</sub> вблизи состава соед. CuSbSe<sub>2</sub>. Показано, что при 298 К ширина области гомогенности соед. CuSbSe<sub>2</sub> не превышает 0,6 мол.%. Точка максимума на участке диаграммы системы Cu<sub>2</sub>Se—Sb<sub>2</sub>Se<sub>3</sub> не соответствует стехиометрич. составу и смещена в сторону Cu<sub>2</sub>Se на 0,4 мол.%.

*Резюме*

*X. 1990, N 17*

Liebh Sez

On 33452 1990

113: 30057t The phase diagram of the cuprous selenide-antimony sesquiselenide system within the region of existence of the compound copper antimony selenide ( $\text{CuSbSe}_2$ ). Golovei, M. I.; Tkachenko, V. I.; Rigan, M. Yu.; Stasyuk, N. P. (Uzhgorod Gos. Univ., Uzhgorod, USSR). *Izv. Akad. Nauk SSSR, Neorg. Mater.* 1990, 26(5), 933-4 (Russ). DTA, chem. anal., and microhardness measurements were used to det. the data for the  $\text{Cu}_2\text{Se}-\text{Sb}_2\text{Se}_3$  phase diagram in the region of formation of the compd.  $\text{CuSbSe}_2$ . The diagram presented covers the compns. 48-58 mol.%  $\text{Sb}_2\text{Se}_3$  and temps. 146-764 K. At 298 K, the width of the homogeneity region for  $\text{CuSbSe}_2$  is  $\leq 0.6$  mol.%. The max. point in the system does not correspond to the stoichiometry of that compd. and appears in the region contg. 0.4 mol%  $\text{Cu}_2\text{Se}$ .

KP;

C.A. 1990, 113, NY

*CuSbS<sub>2</sub>*

*1990*

Д 11 Б3087. Диаграмма состояния системы Cu<sub>2</sub>S—Sb<sub>2</sub>S<sub>3</sub> в области существования соединения CuSbS<sub>2</sub> / Головей М. И., Ткаченко В. И., Риган М. Ю., Стасюк Н. П. // Изв. АН СССР. Неорган. матер.— 1990.— 26, № 1.— С. 4850.— Рус.

Микроструктурным анализом, методом ДТА и измерением микротвердости исследована диаграмма разреза Cu<sub>2</sub>S—Sb<sub>2</sub>S<sub>3</sub> системы Cu—Sb—S в обл. существования соединения CuSbS<sub>2</sub>. Установлено, что CuSbS<sub>2</sub> имеет обл. гомогенности и обладает полиморфным превращением.

Резюме

(T<sub>tz</sub>)

X. 1990, N 11

1990

СибГУ

и гр.

19 Б3087. Термодинамическое исследование системы Cu—Sb—Se методом э. д. с. / Кулиев А. А., Бабанлы Н. Б., Абдуллаева С. Н. // Неорган. соед.— синтез и свойства.— Баку, 1990.— С. 47—49.— Рус.

На основании измерений э. д. с. гальванич. ячеек типа  $\text{Cu}(\text{s})/\text{глицерин}+\text{KCl}+\text{CuCl}/(\text{Cu—Sb—Se})(\text{s})$  в интервале т-р 300—430 К, а также данных ДТА и РФА установлено наличие в системе Cu—Sb—Se трех соединений  $\text{CuSbSe}_2$  (I),  $\text{Cu}_3\text{SbSe}_4$  (II) и  $\text{Cu}_3\text{SbSe}_3$  (III), обл. гомогенности к-рых не превышает 0,5 мол. %. Соединение I плавится конгруэнтио при  $485^\circ\text{C}$ , а II и III — инконгруэнтио при 390 и  $535^\circ\text{C}$ . Для потенциал-образующих р-ций  $\text{Cu}+0,5\text{Sb}_2\text{Se}_3+0,5\text{Se}=\text{I}$  (1),  $\text{Cu}++\text{CuSe}_2+\text{I}=\text{II}$  (2) и  $\text{Cu}+0,5\text{II}+0,5\text{I}=\text{III}$  (3) получены линейные зависимости  $E$  (мВ) =  $a+bT$ , коэф. к-рых  $a$  и  $b$  составили: (1) 396,4 и 0,161; (2) 303,6 и 0,092; (3) 263,7 и 0,148. Станд. значения  $-\Delta_fH^0$  и  $\Delta_fS^0$  образования при 298 К составили: I  $105,3 \pm 4,7$  кДж/моль и  $12,2 \pm 7,5$  Дж/моль·К; II  $173,9 \pm 9,6$  и  $-1,3 \pm 16,5$ ; III  $165,1 \pm 8,8$  и  $20,5 \pm 16,3$ .

А. С. Гузей

 $T_m, \Delta f,$  $\Delta H$ 

X. 1990. № 9

Ли 865  
Ли 865  
и. ГГ.

1990

14 Б3028. Исследование физико-химических и термодинамических свойств систем Cu—Sb—S(Se) / Юснбов В. А., Бабанлы М. Б., Набиев Б. А., Салманов В. А. // Матер. Науч.-практ. конф. «Утилиз. отходов пром-сти и руд. минерал. месторожд. с целью охраны окруж. среды и экон. природ. ресурсов», 25—26 мая, 1989 / АН АзССР. Гяндж. науч. центр.— Баку, 1990.— С. 45—46.— Рус.

Методами ДТА, РФА и э. д. с. исследованы фазовые равновесия в системах Cu—Sb—S(Se). Подтверждено существование тройных соединений CuSbS<sub>2</sub>, Cu<sub>3</sub>SbS<sub>3</sub>, CuSbSe<sub>2</sub> (I) и Cu<sub>3</sub>SbSe<sub>4</sub> и установлено наличие соединений Cu<sub>3</sub>SbS<sub>4</sub> и Cu<sub>3</sub>SbSe<sub>3</sub> (II) с инконгруэнтным плавлением. Соединение I плавится конгруэнтно при

Х. 1991, № 14

490° С, плавлению II при 535° С отвечает перитектич. р-ция жидк. р-р + Cu<sub>2</sub>Se ⇌ II. Равновесный жидк. р-р содержит 35 мол.% Sb<sub>2</sub>Se<sub>3</sub> (III). В системе имеются 2 эвтектич. точки с координатами 43 мол.% III, 475° С и 53 мол.% III, 470° С, к-рым отвечают равновесия: l = II + I и l = I + III. Обл. расслаивания при т-ре монотектич. равновесия (455° С) l<sub>1</sub> = l<sub>2</sub> + I простирается от 25 до 90 мол.% Se. Эвтектич. точка системы I—Se отвечает 95 мол.% Se и 200° С. Измерения э. д. с. цепей Cu(s)/жидк. электролит + Cu<sup>+</sup>/[Cu—Sb—S(Se)] (s) подтвердили установленные фазовые соотношения. Сообщается о расчетах термодинамич. функций. А. С. Гузей

Fe<sub>2</sub>88

1991

Espeleta A.K., Yamaguchi T.,  
et al.,

H<sub>T</sub>-H<sub>O</sub>,

D<sub>SH</sub>,

C<sub>p</sub>, D<sub>sf</sub>

Shigen to Sozai 1991,  
107 (9), 688-63

(all. Fe<sub>2</sub>As; I)

1991

*CuSb<sub>2</sub>O<sub>6</sub>*

6 Б2030. Кристаллическая структура, магнитное упорядочение ближнего и дальнего порядка в CuSb<sub>2</sub>O<sub>6</sub>. Crystal structure, short range and long range magnetic ordering in CuSb<sub>2</sub>O<sub>6</sub> / Nakua A., Yun H., Reimers J. N., Greedan J. E., Stager C. V. // J. Solid State Chem. — 1991. — 91, № 1.— С. 105—112.— Англ.

С применением методом РСТА и нейтронографии (профильный метод, 1442 ненулевых отражения,  $R_p$  0,050,  $R_{wp}$  0,072) изучен CuSb<sub>2</sub>O<sub>6</sub> (I), приготовленный из CuO и Sb<sub>2</sub>O<sub>3</sub> при 1000° С. Для монокл. I  $a$  4,6349,  $b$  4,6370,  $c$  9,2931 Å,  $\beta$  91,142°, ф. гр.  $P\bar{2}_1/n$ , СТ иска-  
женный трирутин с почти квадратно-планарной коор-  
динацией Cu<sup>2+</sup>; межатомные расстояния Cu—O 2,004—  
2,120 Å, Sb—O 1,960—2,013 Å. Магнитные измерения  
показывают размытый максимум при 60 К и резкий пе-  
реход при 8,5 К. I следует закону Кюри—Вейсса (эфф.  
магн. момент 1,758  $\mu_B$ ,  $\theta = -48$  К). Высокот-рная вос-  
приимчивость лучше объясняется  $I-d$  моделью Гей-  
зенберга. Анализ методом Огучи дает величину отно-  
шения коэф. внутрицепочечного и межцепочечного свя-  
зываия  $\sim 2 \cdot 10^{-3}$ .

А. Н. Земенкова

Кристал-  
структур

X. 1992, N 6

Сибж

21 35202 1991

10 E635. Термодинамический расчет системы медь—сурьма. A thermodynamic evaluation of the copper-antimony system / Nitsche René, Mey Sabine an, Hack Klaus, Spencer Philip // Z. Metallk.— 1991.— 82, № 1.— С. 67—72.— Англ.

Проведен расчет фазовой диаграммы системы Cu—Sb. Для описания энергии Гиббса чистых компонентов использовано ур-ние Редлиха—Кистера, в котором коэф. являются линейной ф-цией т-ры:  $G = a + bT + c\ln T + dT^2 + fT^3 + gT^{-1}$ , а также термодинамич. связи  $S = -(\partial G / \partial T)_p$  и  $H = G + T \cdot S$ . Эти же ур-ния использованы и для описания термодинамич. ф-ций (энергий Гиббса) интерметаллич. соединений системы Cu—Sb:  $\eta(Cu_{11}Sb_2)$ ,  $k(Cu_7Sb_2)$ ,  $\varepsilon(Cu_3Sb_2)$ ,  $\varepsilon'(Cu_{73}Sb_{20})$  и  $\gamma(Cu_2Sb)$ . Рассчитанные значения термодинамич. величин (энтропии, энталпии, теплоемкости) сопоставлены с имеющимися эксперим. значениями. Для  $\varepsilon$ -фазы рассчитанная из ур-ний теплоемкость примерно на

Г, ф, к-н

φ. 1991, № 10

6 Дж/моль К выше, чем эксперим. значения, в то время как для  $\gamma$ -фазы рассчитанные значения теплоемкости совпадают с эксперим. значениями. Библ. 26.

Н. Т.



Лист

от 35.2.91

1991

12 Б3075. Термодинамическое описание системы Cu—Sb. A thermodynamic evaluation of the copper-antimony system / Nitsche R., Mey S., Hack K., Spencer P. // Z. Metallk.— 1991.— 82, № 1.— С. 67—72.— Англ.; рез. нем.

(165)

Термодинамическое описание фазовой диаграммы системы Cu—Sb выполнено машинным способом с использованием ф-ции свободной энергии Гиббса компонентов и интермет. фаз Cu<sub>2</sub>Sb, Cu<sub>73</sub>Sb<sub>20</sub>, Cu<sub>9</sub>Sb<sub>2</sub>, Cu<sub>7</sub>Sb<sub>2</sub>, Cu<sub>11</sub>Sb<sub>2</sub>. Трная зависимость  $G(T)$  выражалась полиномами  $G = a + bT + cT\ln T + dT^2 + eT^3 + fT^{-1}$ , св-ва фаз в системе Cu—Sb описывались в приближении р-ра замещения с учетом энергии смешения в виде полиномов Редлиха—Кистера. Констатировано согласие положений фазовых полей с эксперим. данными по диаграмме состояния системы в справочнике Хансена и Андерко, 1958 г. Л. А. Резницкий

ж. 1991, № 12

Си Sb2O<sub>6</sub>

1991

20 Б2028. Синтез и структурная характеристика смешанных оксидов Sb(5+) типа рутила и три-рутила. Sintesis y caracterizacion estructural de oxidos mixtos de Sb(V) tipo rutilo y tri-rutilo /Ramos E., Isasi J., Gaitan M., Vei-ga M. L. //An. quim.—1991.—87, № 8.—C. 966—969.—Исп.;рез. англ.

Проведено рентгенографич. порошковое и ИКС-изучение CuSb<sub>2</sub>O<sub>6</sub> (I), синтезир. из CuO, Sb<sub>2</sub>O<sub>5</sub>, нагреванием на воздухе при 1273 К в течение 1 дня и при 1323 К — в течение 9 дней, а также CrVSbO<sub>6</sub> (II), полученного из V<sub>2</sub>O<sub>4</sub>, Cr<sub>2</sub>O<sub>3</sub>, Sb<sub>2</sub>O<sub>5</sub> при давл. 10<sup>-6</sup> мм и т-ре 1143 К и 1163 К в течение 24 часов и 12 часов соотв. Параметры монокл. решетки I и тетрагон. II:  $a = 4,6332, 4,563$ ,  $b = 4,6347$ ,  $c = 9,2933, 3,032$  Å,  $\beta = 91,090^\circ$ ,  $Z = 2$ , 1 ф. гр. P2<sub>1</sub>/п, P4<sub>2</sub>/тпн.

В структурном типе ASb<sub>2</sub>O<sub>6</sub> (R 0,0212) октаэдры SbO<sub>6</sub> и AO<sub>6</sub> упорядоченно (A—Sb—Sb—A) чередуются в направлении оси c, а симметрия понижена из-за Ян-Теллеровского искажения и поворота октаэдра CuO<sub>6</sub>. У II структурный тип TiO<sub>2</sub> с неупорядоченным размещением катионов. Приведены I/I<sub>0</sub>, d (hkl) для I и II. Межатомные расстояния Cu—O 2,003, 2,010, 2,109, Sb—O 1,950—2,012 Å.

Н. Л. Смирнова

Структура

X. 1992, № 20

СибРе<sub>2</sub>

1991

1 20 Б2198. Удельная теплопроводность полупроводников CuSbTe<sub>2</sub> и CuBiTe<sub>2</sub> в твердом и жидким состояниях. Thermal conductivity of CuSbTe<sub>2</sub> and CuBiTe<sub>2</sub> semiconductors in solid and liquid states /Sharaf K. A., Abdelmohsen N., Naser S., Abou El-Ela A. H. //Acta phys. hung.—1991.—70, № 1—2.—С. 51—56.—Англ.

Проведены измерения уд. теплопроводности полупроводников CuSbTe<sub>2</sub>, (I) и CuBiTe<sub>2</sub>, (II) в тв. и жидк. состояниях при т-рах 240—720 и 300—780° С, соотв. Установлено постепенное понижение уд. теплопроводности кристаллов при нагревании до т. пл. I и II (530 и 520° С, соотв.), при к-рых наблюдается возрастание теплопроводности на 32% для I и на 18,5% для II. В жидк. состоянии уд. теплопроводность I и II продолжает уменьшаться с т-рой. Определены вклады электронного, фононного и др. механизмов в перенос тепла и вычислены значения термоэлектрич. Q-фактора Z для I и II в обоих агрегатных состояниях.

Ф. М. Спиридонов

(7)

X. 1992, N 20.

$\text{CuSb}_2\text{O}_6$  1996

Kamaguchi Masa-  
aki, Furuta Tomoki  
et al.

$C_p, T_c$  J. Phys. Soc. Jap. 1996,  
65, N.G.C. 2998-3006.

(c.c.  $\text{Ce}_3\text{WO}_4$ ; I)

2000

F: Cu<sub>2</sub>S-Sb<sub>2</sub>S<sub>3</sub>

P: 1

133:95282 Thermodynamic studies of the molten Cu<sub>2</sub>S-Sb<sub>2</sub>S<sub>3</sub> and FeS-Sb<sub>2</sub>S<sub>3</sub> systems. Matei, Grigore; Takasaki, Yasushi; Itagaki, Kimio; Koike, Kazuo Fac. of Eng. and Resour Sci., Akita Univ. Akita 010-8052, Japan

Shigen to Sozai, 116(6), 515-519 (English) 2000.

The apparent vapor pressure of pure Sb<sub>2</sub>S<sub>3</sub> was measured using the transportation method in the temp. range between 800 and 1,050.degree.C. The apparent vapor pressures of Sb<sub>2</sub>S<sub>3</sub> in the Cu<sub>2</sub>S-Sb<sub>2</sub>S<sub>3</sub> and FeS-Sb<sub>2</sub>S<sub>3</sub> binary systems were also measured at 1,050.degree.C

using the same method. The activity of Cu<sub>2</sub>S and Sb<sub>2</sub>S<sub>3</sub> in the Cu<sub>2</sub>S-Sb<sub>2</sub>S<sub>3</sub> system at 1,050.degree.C showed a neg. deviation from the ideal behavior and the activity coeff. at infinite diln. of Sb<sub>2</sub>S<sub>3</sub> was estd. to be .gamma..degree.Sb<sub>2</sub>S<sub>3</sub> = 0.073. The activity of Sb<sub>2</sub>S<sub>3</sub> in the FeS-Sb<sub>2</sub>S<sub>3</sub> system at 1,050.degree.C showed a small neg. deviation from the ideal behavior for X<sub>Sb2S3</sub> > 0.36 and a const. value of 0.31 for X<sub>Sb2S3</sub> < 0.36.

*Cu<sub>8</sub>Sb<sub>2</sub>O<sub>5,75</sub>*

*2002*

F: SnO<sub>2</sub>-Sb<sub>2</sub>O<sub>3</sub>-CuO

P: 1 02.21-19Б3.70ДЕП. Фазовые равновесия в системе SnO<sub>2</sub>-Sb<sub>2</sub>O<sub>3</sub>-CuO / Час А. Е., Изотов А. Д., Тананаева О. И., Козловский В. Ф.; Ред. ж. Вестн. МГ Химия. - М., 2002. - 16 с. : ил. - Рус.

- Деп. в ВИИТИ 09.04.2002, N 639-В2002 Изучены фазовые равновесия в системе SnO<sub>2</sub>-Sb<sub>2</sub>O<sub>3</sub>-CuO в интервале температур 20-1000рС с использованием методов РФА и ДТА. Тройных фаз в си не обнаружено. Доказано, что образование соединения CuSb<sub>2</sub>O<sub>5,75</sub> начинает с 700рС. Рентгенографические данные соединения охарактеризованы на базе орторомбической структуры с указанными параметрами решетки. При 950рС образуется соединение, состав которого был уточнен и является следующим: Cu<sub>5</sub>Sb<sub>6</sub>. Рентгенографические данные соединения охарактеризованы на ба моноклинной структуры с указанными параметрами решетки и пространственной группой. Построены изотермические сечения фазовой диаграммы системы SnO<sub>2</sub>-Sb<sub>2</sub>O<sub>3</sub>-CuO при 700, 800 и 950рС. Библ. 21.

*(система)*

Cu<sub>5</sub>SbO<sub>6</sub>

2002

F: Cu<sub>5</sub>SbO<sub>6</sub>, Sb-Cu-O

P: 1 02.21-19Б3.69ДЕП. Фазовые равновесия в системе Sb-Cu-O / Частухин А. Е., А. Д., Тананаева О. И., Козловский В. Ф.; Ред. ж. Вестн. МГУ. Химия. - М. 2002. - 16 с. : ил. - Рус.

- Деп. в ВИИТИ 09.04.2002, N 638-В2002 С использованием методов РФА и ДТА изучены фазовые равновесия в системе S в интервале температур 20-1300рС. Подтверждено в этой системе образование соединения CuSb[2]O[6-'дельта'] начиная с 700рС. Соединение охарактеризовано на базе орторомбической структуры с указанными параметрами решетки. Определена температура плавления и доказано его частичное разложение с выделением кислорода. Также обнаружено образование при 950рС соединения, состав которого при уточнении оказался следующим: Cu[5]SbO[6]. Соединение охарактеризовано на базе моноклинной структуры с указанными параметрами решетки и пространственной группой. Построены изотермические сечения фазовой диаграммы системы медь-сульфур-кислород при 700, 800, 950, 1100, 1200 и 1250рС. Библ. 17.